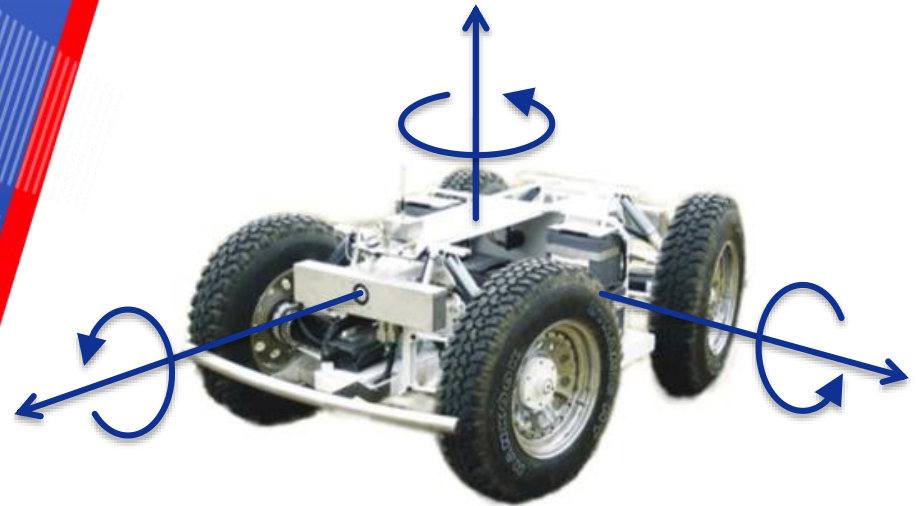


Raumkinematik – Grundlagen I



Prof. Karsten Berns

Robotics Research Lab

Department of Computer Science

University of Kaiserslautern, Germany

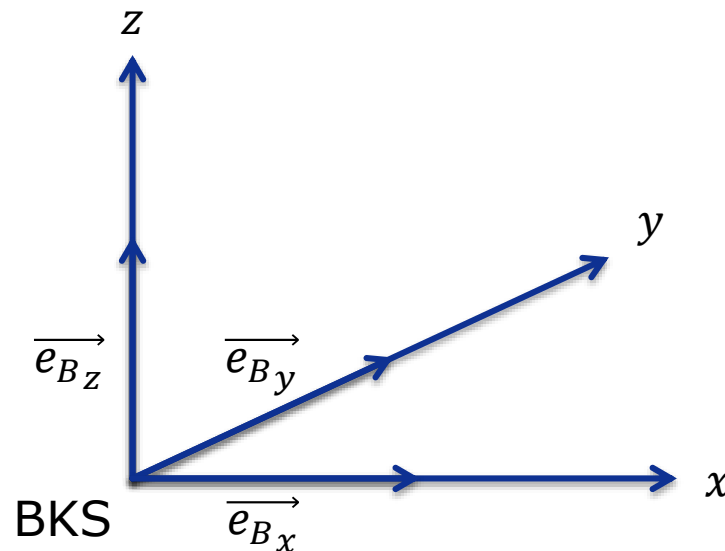
Inhalt

- Beschreibung von Objekten und Objektlagen im 3D euklidischen Raum (E_3)
- Orientierungsbeschreibung mit 3×3 Matrizen
- 6-dim. Beschreibungsvektor
- Homogene Koordinaten und Transformationsmatrix
- Verkettete Lagebeschreibungen

Beschreibung von Objekten und Lagen in E_3

Basiskoordinatensystem (BKS)

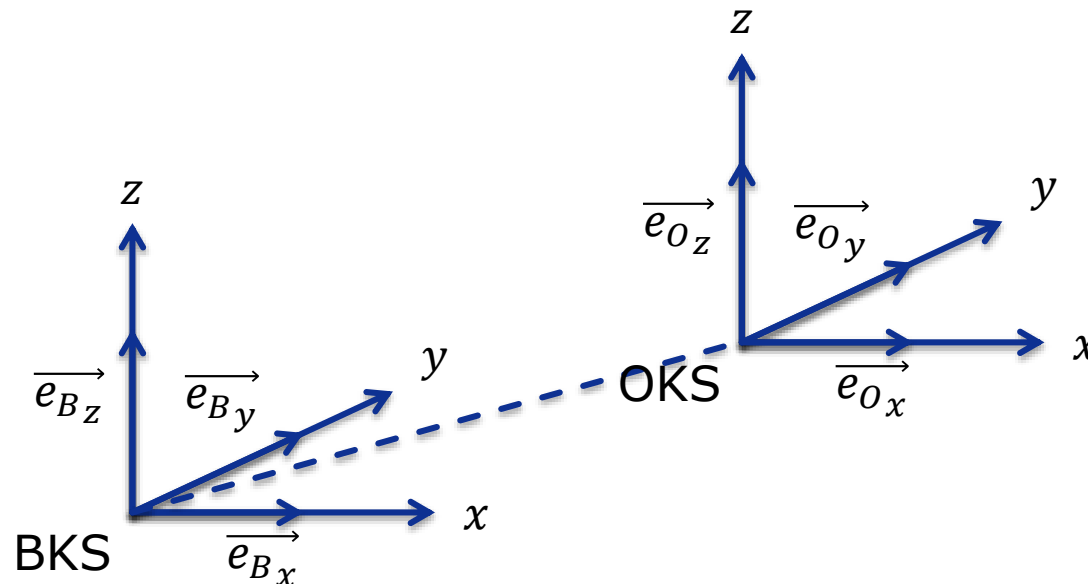
- 3-dim. Koordinatensystem definiert durch orthogonale Einheitsvektoren $\vec{e}_{B_x}, \vec{e}_{B_y}, \vec{e}_{B_z}$



Beschreibung von Objekten und Lagen in E_3

Objektkoordinatensystem (OKS)

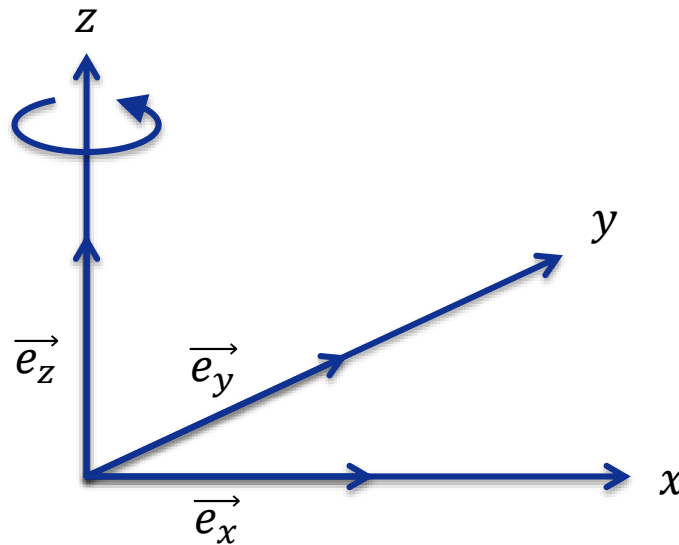
- Jeder starre Körper kann auf ein lokales Koordinatensystem bezogen werden
- Lokales Koordinatensystem wird durch orthogonale Einheitsvektoren $\vec{e}_{O_x}, \vec{e}_{O_y}, \vec{e}_{O_z}$ definiert



Rechtwinklige, kartesische Koordinatensysteme

Rechtsdrehendes Koordinatensystem

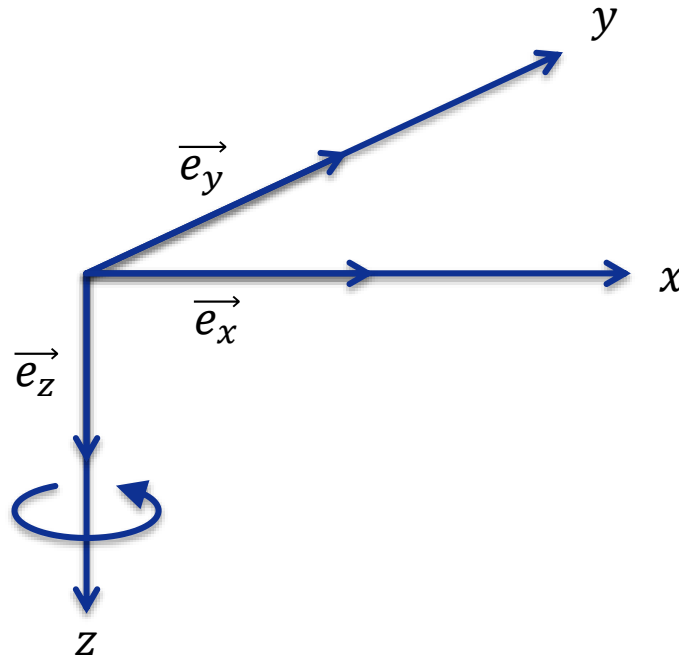
- Rechte-Hand-Regel: Daumen x , Zeigefinger y , Mittelfinger z
- $\vec{e}_x \times \vec{e}_y = \vec{e}_z$ mit \times als Kreuzprodukt
- Richtung nicht angegeben, dann Rechtsdrehendes KS



Rechtwinklige, kartesische Koordinatensysteme

Linksdrehendes Koordinatensystem

- Linke-Hand-Regel: Daumen x , Zeigefinger y , Mittelfinger z
- $\vec{e}_x \times \vec{e}_y = -\vec{e}_z$



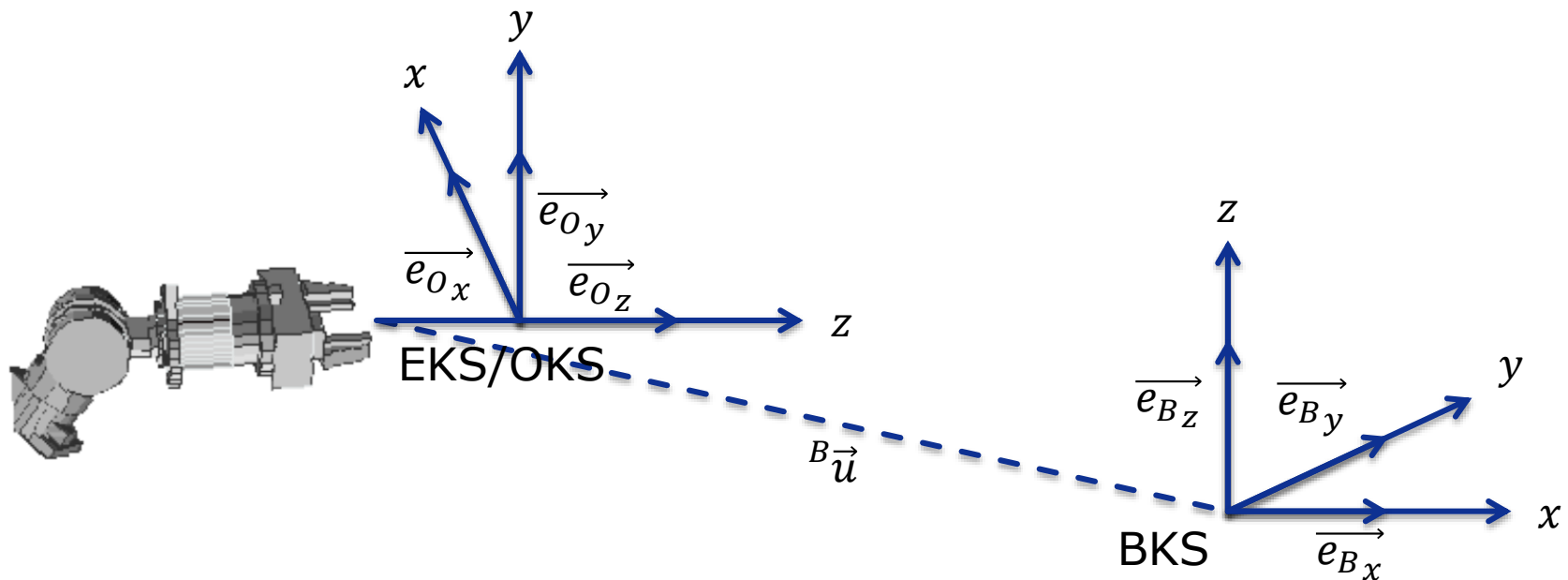
Lage eines Objektes im Raum

- Ort bezogen auf BKS: Ortsvektor vom Ursprung des BKS zum Ursprung des OKS
- Orientierung bezogen auf BKS: Rotationsmatrix zur Abbildung der Einheitsvektoren des OKS auf die Einheitsvektoren des BKS
- Lage: Ortsvektor und Rotationsmatrix des OKS bezogen auf das BKS

Transformationen

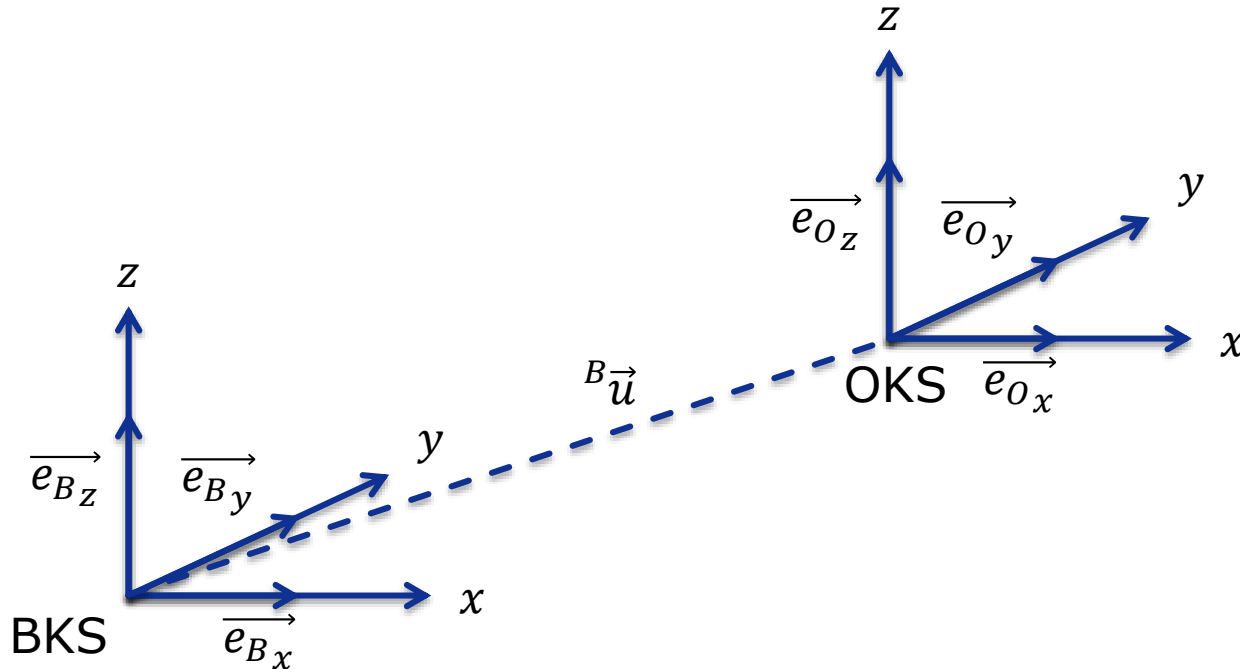
Zur Beschreibung von Roboteranwendungen werden neben dem BKS zahlreiche lokale Koordinatensysteme verwandt, z.B. ...

- OKS: Objektkoordinatensystem
- EKS: Effektorkoordinatensystem (TCP)
- SKS: Sensorkoordinatensystem



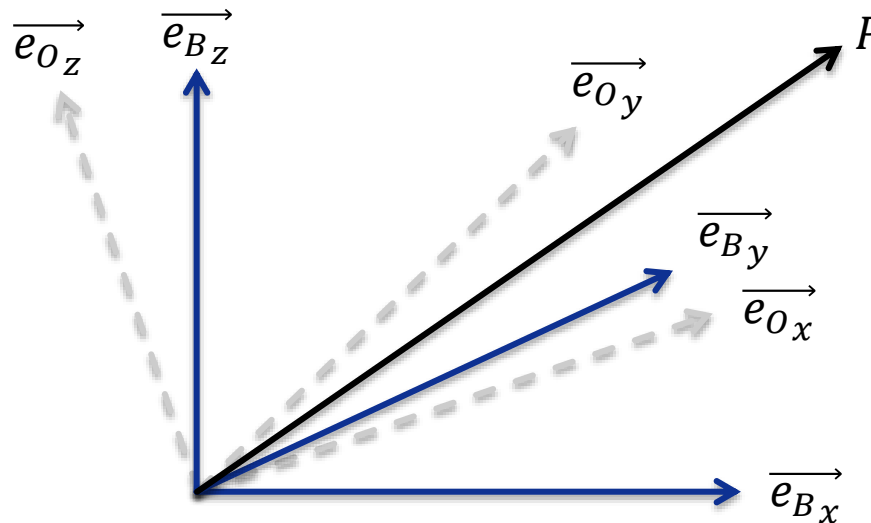
Mögliche Transformation

- Translationsvektor: ${}^B\vec{u} = {}^B a \cdot \vec{e}_{B_x} + {}^B b \cdot \vec{e}_{B_y} + {}^B c \cdot \vec{e}_{B_z}$
- Rotationsmatrix: $R = R_\alpha \cdot R_\beta \cdot R_\gamma$
- Rotationswinkel um die Koordinatenachsen x, y, z : $\alpha_x, \beta_y, \gamma_z$



Drehung eines Koordinatensystems

- Seien BKS und OKS gegeneinander rotiert mit Einheitsvektoren $\vec{e}_{B_x}, \vec{e}_{B_y}, \vec{e}_{B_z}$ und $\vec{e}_{O_x}, \vec{e}_{O_y}, \vec{e}_{O_z}$
- Gegeben sei der Ortsvektor eines Punktes P , entweder bzgl. des OKS ${}^O\vec{p}$ oder bzgl. des BKS ${}^B\vec{p}$. Gesucht ist der Ortsvektor bzgl. des jeweils anderen Koordinatensystems.



Drehung eines Koordinatensystems

- ${}^B\vec{p} = {}^Bp_x \cdot \vec{e}_{B_x} + {}^Bp_y \cdot \vec{e}_{B_y} + {}^Bp_z \cdot \vec{e}_{B_z}$ mit ${}^B\vec{p} = \begin{bmatrix} {}^Bp_x \\ {}^Bp_y \\ {}^Bp_z \end{bmatrix}$
- ${}^0\vec{p} = {}^0p_x \cdot \vec{e}_{O_x} + {}^0p_y \cdot \vec{e}_{O_y} + {}^0p_z \cdot \vec{e}_{O_z}$ mit ${}^0\vec{p} = \begin{bmatrix} {}^0p_x \\ {}^0p_y \\ {}^0p_z \end{bmatrix}$
- ${}^0\vec{p}$ projiziert auf BKS-Basisvektoren liefert BKS-Koordinaten
 - ${}^Bp_x = \vec{e}_{B_x} \cdot {}^0\vec{p} = \vec{e}_{B_x} \cdot \vec{e}_{O_x} \cdot {}^0p_x + \vec{e}_{B_x} \cdot \vec{e}_{O_y} \cdot {}^0p_y + \vec{e}_{B_x} \cdot \vec{e}_{O_z} \cdot {}^0p_z$
 - ${}^Bp_y = \vec{e}_{B_y} \cdot {}^0\vec{p} = \vec{e}_{B_y} \cdot \vec{e}_{O_x} \cdot {}^0p_x + \vec{e}_{B_y} \cdot \vec{e}_{O_y} \cdot {}^0p_y + \vec{e}_{B_y} \cdot \vec{e}_{O_z} \cdot {}^0p_z$
 - ${}^Bp_z = \vec{e}_{B_z} \cdot {}^0\vec{p} = \vec{e}_{B_z} \cdot \vec{e}_{O_x} \cdot {}^0p_x + \vec{e}_{B_z} \cdot \vec{e}_{O_y} \cdot {}^0p_y + \vec{e}_{B_z} \cdot \vec{e}_{O_z} \cdot {}^0p_z$

Drehung eines Koordinatensystems

Analog erfolgt die Umrechnung von BKS- in OKS-Koordinaten

- ${}^0p_x = \overrightarrow{e_{0_x}} \cdot {}^B\vec{p} = \overrightarrow{e_{0_x}} \cdot \overrightarrow{e_{B_x}} \cdot {}^Bp_x + \overrightarrow{e_{0_x}} \cdot \overrightarrow{e_{B_y}} \cdot {}^Bp_y + \overrightarrow{e_{0_x}} \cdot \overrightarrow{e_{B_z}} \cdot {}^Bp_z$
- ${}^0p_y = \overrightarrow{e_{0_y}} \cdot {}^B\vec{p} = \overrightarrow{e_{0_y}} \cdot \overrightarrow{e_{B_x}} \cdot {}^Bp_x + \overrightarrow{e_{0_y}} \cdot \overrightarrow{e_{B_y}} \cdot {}^Bp_y + \overrightarrow{e_{0_y}} \cdot \overrightarrow{e_{B_z}} \cdot {}^Bp_z$
- ${}^0p_z = \overrightarrow{e_{0_z}} \cdot {}^B\vec{p} = \overrightarrow{e_{0_z}} \cdot \overrightarrow{e_{B_x}} \cdot {}^Bp_x + \overrightarrow{e_{0_z}} \cdot \overrightarrow{e_{B_y}} \cdot {}^Bp_y + \overrightarrow{e_{0_z}} \cdot \overrightarrow{e_{B_z}} \cdot {}^Bp_z$

Matrixschreibweise

- ${}^B_0R_1 = \begin{bmatrix} \overrightarrow{e_{B_x}} \cdot \overrightarrow{e_{O_x}} & \overrightarrow{e_{B_x}} \cdot \overrightarrow{e_{O_y}} & \overrightarrow{e_{B_x}} \cdot \overrightarrow{e_{O_z}} \\ \overrightarrow{e_{B_y}} \cdot \overrightarrow{e_{O_x}} & \overrightarrow{e_{B_y}} \cdot \overrightarrow{e_{O_y}} & \overrightarrow{e_{B_y}} \cdot \overrightarrow{e_{O_z}} \\ \overrightarrow{e_{B_z}} \cdot \overrightarrow{e_{O_x}} & \overrightarrow{e_{B_z}} \cdot \overrightarrow{e_{O_y}} & \overrightarrow{e_{B_z}} \cdot \overrightarrow{e_{O_z}} \end{bmatrix}$ und ${}^0\vec{p} = \begin{bmatrix} {}^0p_x \\ {}^0p_y \\ {}^0p_z \end{bmatrix}$

- ${}^0_BR_2 = \begin{bmatrix} \overrightarrow{e_{O_x}} \cdot \overrightarrow{e_{B_x}} & \overrightarrow{e_{O_x}} \cdot \overrightarrow{e_{B_y}} & \overrightarrow{e_{O_x}} \cdot \overrightarrow{e_{B_z}} \\ \overrightarrow{e_{O_y}} \cdot \overrightarrow{e_{B_x}} & \overrightarrow{e_{O_y}} \cdot \overrightarrow{e_{B_y}} & \overrightarrow{e_{O_y}} \cdot \overrightarrow{e_{B_z}} \\ \overrightarrow{e_{O_z}} \cdot \overrightarrow{e_{B_x}} & \overrightarrow{e_{O_z}} \cdot \overrightarrow{e_{B_y}} & \overrightarrow{e_{O_z}} \cdot \overrightarrow{e_{B_z}} \end{bmatrix}$ und ${}^B\vec{p} = \begin{bmatrix} {}^Bp_x \\ {}^Bp_y \\ {}^Bp_z \end{bmatrix}$

- ${}^B\vec{p} = {}^B_0R_1 \cdot {}^0\vec{p} = {}^0_BR_2^{-1} \cdot {}^0\vec{p}$

- ${}^0\vec{p} = {}^0_BR_2 \cdot {}^B\vec{p} = {}^B_0R_1^{-1} \cdot {}^B\vec{p}$

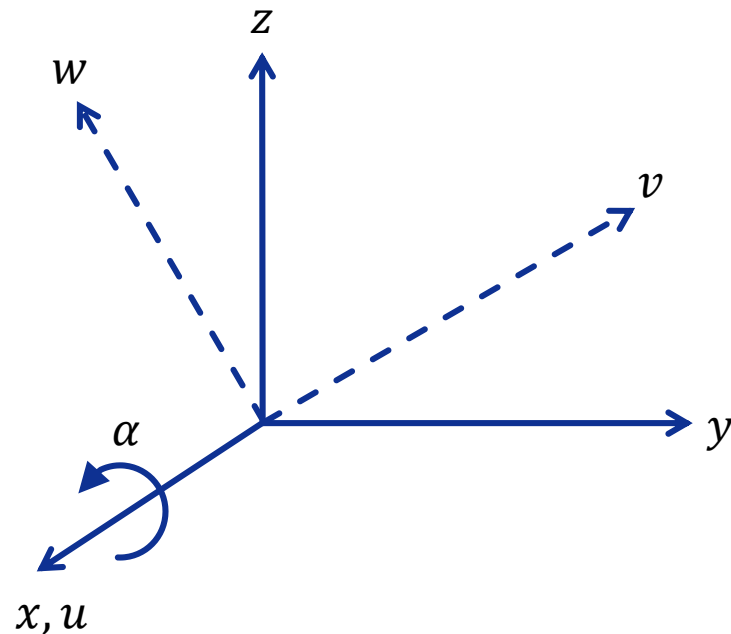
- Somit $R_1 = R_2^{-1}$, $R_2 = R_1^{-1}$ sowie $R_2 = R_1^T$

- Ergebnis: Orthogonale Matrizen

- Skalarprodukt: $\vec{a} \cdot \vec{b} = |\vec{a}| \cdot |\vec{b}| \cos \alpha$

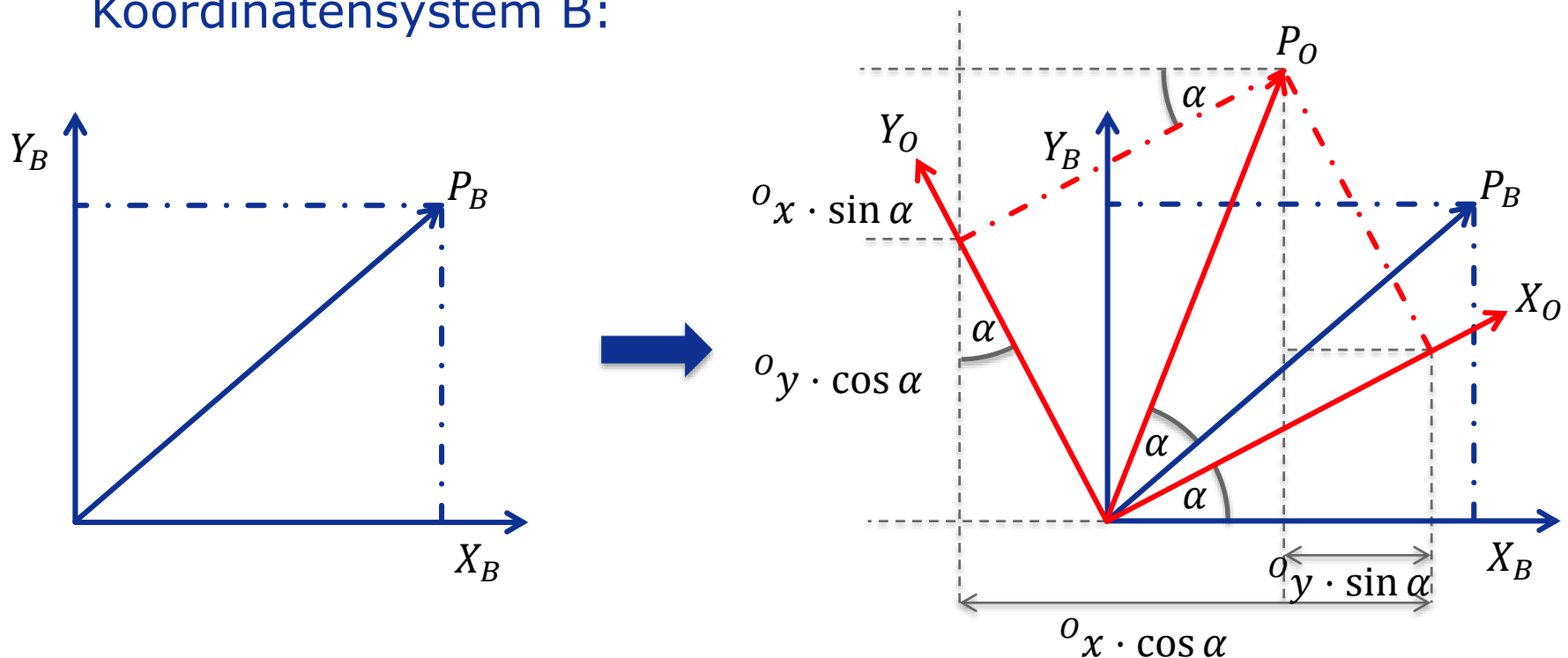
Drehung um x -Achse mit Winkel α

- $\overrightarrow{e_{B_x}} \cdot \overrightarrow{e_{O_x}} = 1$ $\overrightarrow{e_{B_x}} \cdot \overrightarrow{e_{O_y}} = 0$ $\overrightarrow{e_{B_x}} \cdot \overrightarrow{e_{O_z}} = 0$
- $\overrightarrow{e_{B_y}} \cdot \overrightarrow{e_{O_x}} = 0$ $\overrightarrow{e_{B_y}} \cdot \overrightarrow{e_{O_y}} = \cos(\alpha)$ $\overrightarrow{e_{B_y}} \cdot \overrightarrow{e_{O_z}} = c(\alpha)$
- $\overrightarrow{e_{B_z}} \cdot \overrightarrow{e_{O_x}} = 0$ $\overrightarrow{e_{B_z}} \cdot \overrightarrow{e_{O_y}} = c(-\alpha)$ $\overrightarrow{e_{B_z}} \cdot \overrightarrow{e_{O_z}} = \cos(\alpha)$
- $c(\alpha) = \cos(90 + \alpha) = -\sin \alpha = \sin(-\alpha)$
- $R_x(\alpha) = \begin{bmatrix} 1 & 0 & 0 \\ 0 & C\alpha & -S\alpha \\ 0 & S\alpha & C\alpha \end{bmatrix}$
- $C = \cos, S = \sin$



Rotationsmatrix: Geometrische Herleitung

- Frame $OX_OY_OZ_O$ ist aus Frame $BX_BY_BZ_B$ durch Rotation um die z -Achse mit Winkel α entstanden.
- Berechnung der Koordinaten von Punkt $P_O = ({}^0x, {}^0y, {}^0z)^T$ im Koordinatensystem B:



Rotation um die z-Achse

- Drehung um Winkel α um z-Achse
 - Punkt P_o mit den Koordinaten $({}^o x, {}^o y, {}^o z)^T$ im OKS erhält im BKS die Koordinaten ...

$${}^B x = {}^o x \cdot \cos \alpha - {}^o y \cdot \sin \alpha$$

$${}^B y = {}^o x \cdot \sin \alpha - {}^o y \cdot \cos \alpha$$

$${}^B z = {}^o z$$

- z-Koordinate fest, da z-Achse Drehachse ist

- Matrixform: ${}^B \vec{p} = \begin{bmatrix} B_x \\ B_y \\ B_z \end{bmatrix} = \begin{bmatrix} \cos \alpha & -\sin \alpha & 0 \\ \sin \alpha & \cos \alpha & 0 \\ 0 & 0 & 1 \end{bmatrix} \cdot \begin{bmatrix} {}^o x \\ {}^o y \\ {}^o z \end{bmatrix} = {}^B_o R_z(\alpha) \cdot {}^o \vec{p}$

Rotationsmatrix

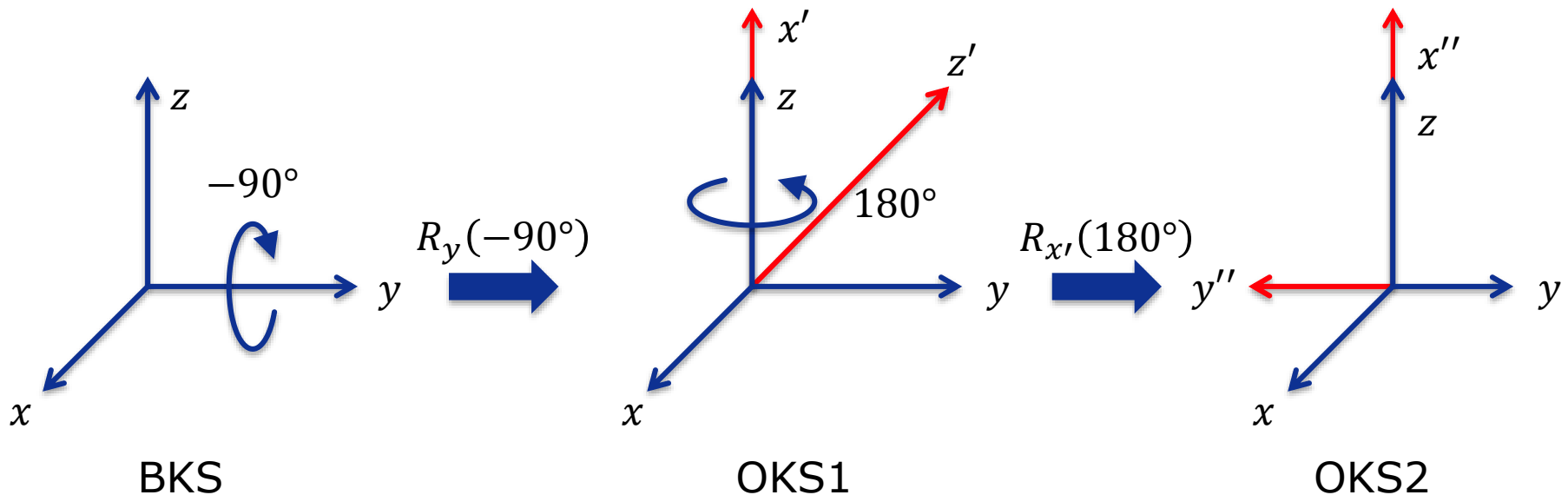
- Rotationsmatrix $R_z(\alpha) = \begin{bmatrix} \cos\alpha & -\sin\alpha & 0 \\ \sin\alpha & \cos\alpha & 0 \\ 0 & 0 & 1 \end{bmatrix}$ beschreibt Drehung
- Drehungen um x und y -Achse analog
 - $R_x(\alpha) = \begin{bmatrix} 1 & 0 & 0 \\ 0 & \cos\alpha & -\sin\alpha \\ 0 & \sin\alpha & \cos\alpha \end{bmatrix}$
 - $R_y(\alpha) = \begin{bmatrix} \cos\alpha & 0 & \sin\alpha \\ 0 & 1 & 0 \\ -\sin\alpha & 0 & \cos\alpha \end{bmatrix}$

Rotationsmatrix: Eigenschaften

- Affine Abb. von $\mathbb{R}_3 \rightarrow \mathbb{R}_3$
- Reelle Matrix
- Quadratisch
- Regulär
- Orthogonal
 - Zeilen- bzw. Spaltenvektoren orthogonal zueinander
- Sei R Rotationsmatrix
 - $\text{Rang } R_g(R) = 3$
 - $R^T = R^{-1}$
 - $R \cdot R^{-1} = R^{-1} \cdot R = E$
 - $\det R = 1$

Verkettete, elementare Rotationen

Sei OKS durch 2 Rotationen aus BKS entstanden



$$R_y(-90^\circ) = \begin{bmatrix} \cos -\frac{\pi}{2} & 0 & \sin -\frac{\pi}{2} \\ 0 & 1 & 0 \\ -\sin -\frac{\pi}{2} & 0 & \cos -\frac{\pi}{2} \end{bmatrix}$$

$$R_{x'}(180^\circ) = \begin{bmatrix} 1 & 0 & 0 \\ 0 & \cos \pi & -\sin \pi \\ 0 & \sin \pi & \cos \pi \end{bmatrix}$$

Verkettete, elementare Rotationen

- Berechnung von ${}^B\vec{u}$ aus ${}^{O2}\vec{u}$
- $${}^B\vec{u} = {}_{O1}^B R_y(-90^\circ) \cdot {}^{O1}\vec{u} = {}_{O1}^B R_y(-90^\circ) \cdot {}_{O2}^{O1} R_{x'}(180^\circ) \cdot {}^{O2}\vec{u}$$
$$= \begin{pmatrix} 0 & 0 & 1 \\ 0 & -1 & 0 \\ 1 & 0 & 0 \end{pmatrix} \begin{pmatrix} {}^{O2}u_1 \\ {}^{O2}u_2 \\ {}^{O2}u_3 \end{pmatrix} = \begin{pmatrix} {}^{O2}u_3 \\ -{}^{O2}u_2 \\ {}^{O2}u_1 \end{pmatrix}$$
- $${}^B\overrightarrow{e_{O2x}} = \begin{pmatrix} 0 & 0 & 1 \\ 0 & -1 & 0 \\ 1 & 0 & 0 \end{pmatrix} \begin{pmatrix} 1 \\ 0 \\ 0 \end{pmatrix} = \begin{pmatrix} 0 \\ 0 \\ 1 \end{pmatrix}$$
- $${}^B\overrightarrow{e_{O2y}} = \begin{pmatrix} 0 & 0 & 1 \\ 0 & -1 & 0 \\ 1 & 0 & 0 \end{pmatrix} \begin{pmatrix} 0 \\ 1 \\ 0 \end{pmatrix} = \begin{pmatrix} 0 \\ -1 \\ 0 \end{pmatrix}$$
- $${}^B\overrightarrow{e_{O2z}} = \begin{pmatrix} 0 & 0 & 1 \\ 0 & -1 & 0 \\ 1 & 0 & 0 \end{pmatrix} \begin{pmatrix} 0 \\ 0 \\ 1 \end{pmatrix} = \begin{pmatrix} 1 \\ 0 \\ 0 \end{pmatrix}$$

Interpretation von verketteten Rotationen

- Vormultiplikation: $R = (R_n(R_{n-1} \cdots (R_2 R_1) \cdots))$
 - Interpretation: Drehung des momentanen KS um feste Achsen des Ursprungskoordinatensystems
- Nachmultiplikation: $R = ((\cdots (R_1 R_2) \cdots R_{n-1}) R_n)$
 - Interpretation: Drehung um momentanes KS

Drehachsen in der Robotik

Festlegung der Rotationsachsen und Reihenfolge üblicherweise in ...

- Euler-Winkel
- Roll, Pitch, Yaw

Euler-Winkel (zxz)

- Drehung α um die z -Achse des BKS: $R_z(\alpha)$
- Drehung β um die neue x -Achse x' : $R_{x'}(\beta)$
- Drehung γ um die neue z -Achse z'' : $R_{z''}(\gamma)$
- $R_s = R_z(\alpha) \cdot R_{x'}(\beta) \cdot R_{z''}(\gamma)$

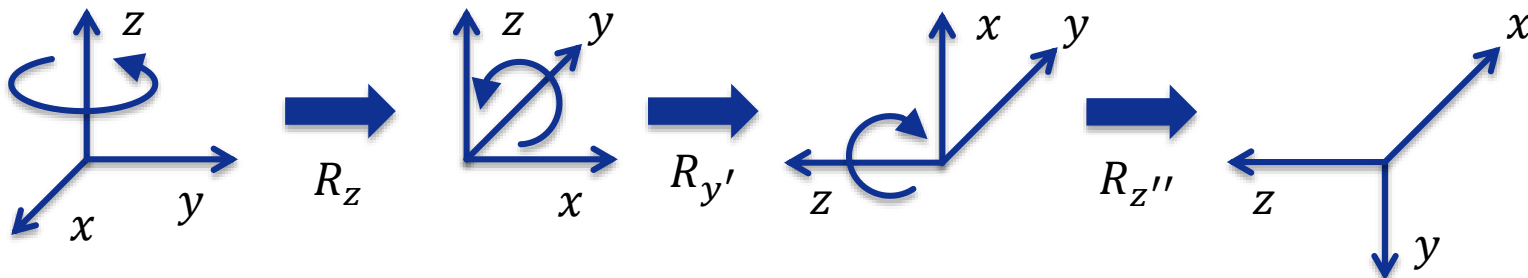
- $$R_s(\alpha, \beta, \gamma) = \begin{bmatrix} C\alpha C\gamma - C\beta S\gamma S\alpha & -C\alpha S\gamma - C\beta C\gamma S\alpha & S\alpha S\beta \\ S\alpha C\gamma + C\beta S\gamma C\alpha & C\alpha C\beta C\gamma - S\alpha S\gamma & -C\alpha S\beta \\ S\gamma S\beta & C\gamma S\beta & C\beta \end{bmatrix}$$

Euler-Winkel (zyz)

- Drehung α um die z -Achse des BKS: $R_z(\alpha)$
- Drehung β um die neue y -Achse y' : $R_{y'}(\beta)$
- Drehung γ um die neue z -Achse z'' : $R_{z''}(\gamma)$
- $R_S = R_z(\alpha) \cdot R_{y'}(\beta) \cdot R_{z''}(\gamma)$

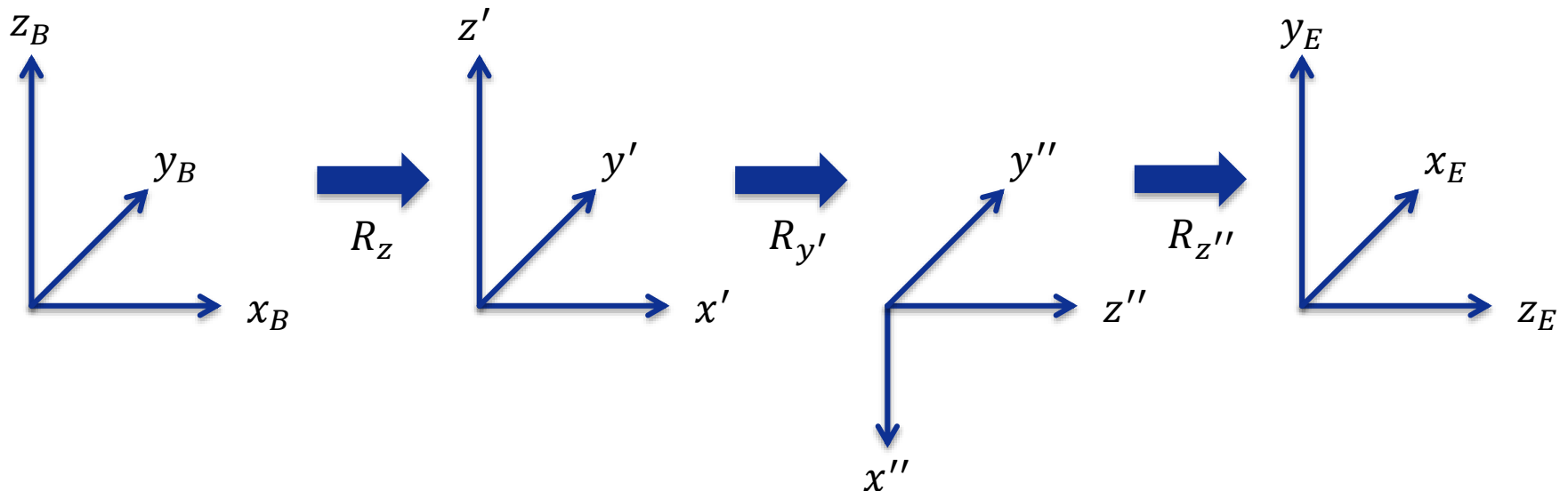
- $$R_S(\alpha, \beta, \gamma) = \begin{bmatrix} C\alpha C\beta C\gamma - S\alpha S\gamma & -C\alpha C\beta S\gamma - S\alpha C\gamma & C\alpha S\beta \\ S\alpha C\beta C\gamma + C\alpha S\gamma & -S\alpha C\beta S\gamma + C\alpha C\gamma & S\alpha S\beta \\ -S\beta C\gamma & S\beta S\gamma & C\beta \end{bmatrix}$$

- Drehung um veränderte Achsen $R_{z,\alpha}, R_{y',\beta}, R_{z'',\gamma}$



Euler-Winkel: Beispiel

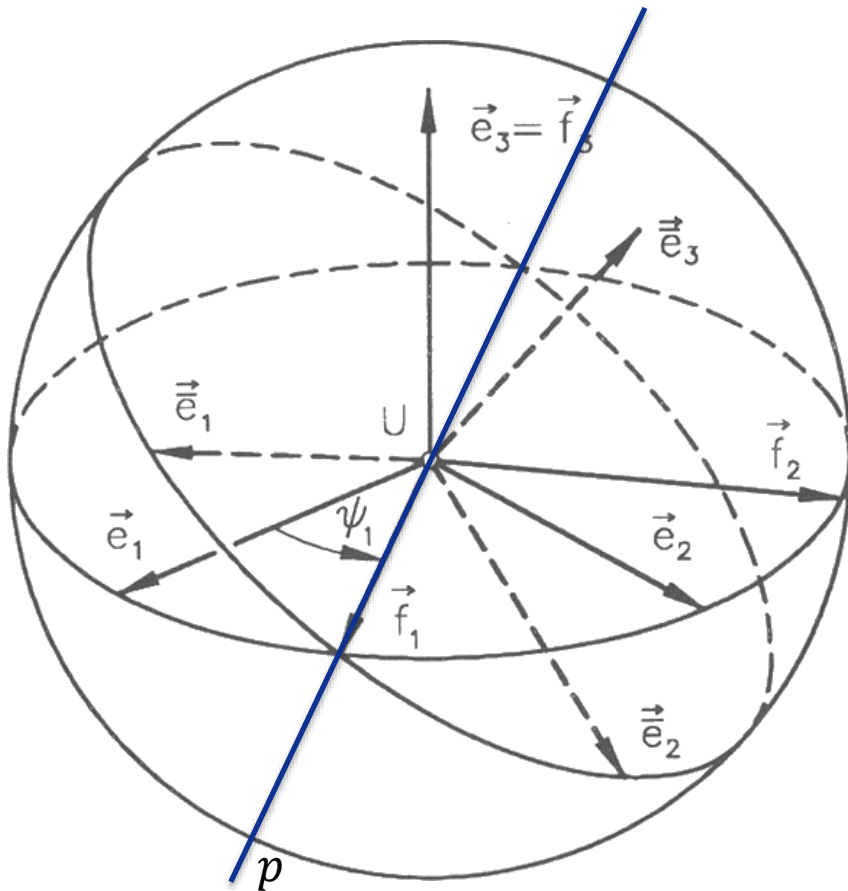
$$\begin{aligned}
 R_S &= R_Z(0^\circ) \cdot R_{y'}(90^\circ) \cdot R_{z''}(90^\circ) \\
 &= \begin{bmatrix} 1 & 0 & 0 \\ 0 & 1 & 0 \\ 0 & 0 & 1 \end{bmatrix} \cdot \begin{bmatrix} 0 & 0 & 1 \\ 0 & 1 & 0 \\ -1 & 0 & 0 \end{bmatrix} \cdot \begin{bmatrix} 0 & -1 & 0 \\ 1 & 0 & 0 \\ 0 & 0 & 1 \end{bmatrix} \\
 &= \begin{bmatrix} 0 & 0 & 1 \\ 0 & 1 & 0 \\ -1 & 0 & 0 \end{bmatrix} \cdot \begin{bmatrix} 0 & -1 & 0 \\ 1 & 0 & 0 \\ 0 & 0 & 1 \end{bmatrix} = \begin{bmatrix} 0 & 0 & 1 \\ 1 & 0 & 0 \\ 0 & 1 & 0 \end{bmatrix}
 \end{aligned}$$



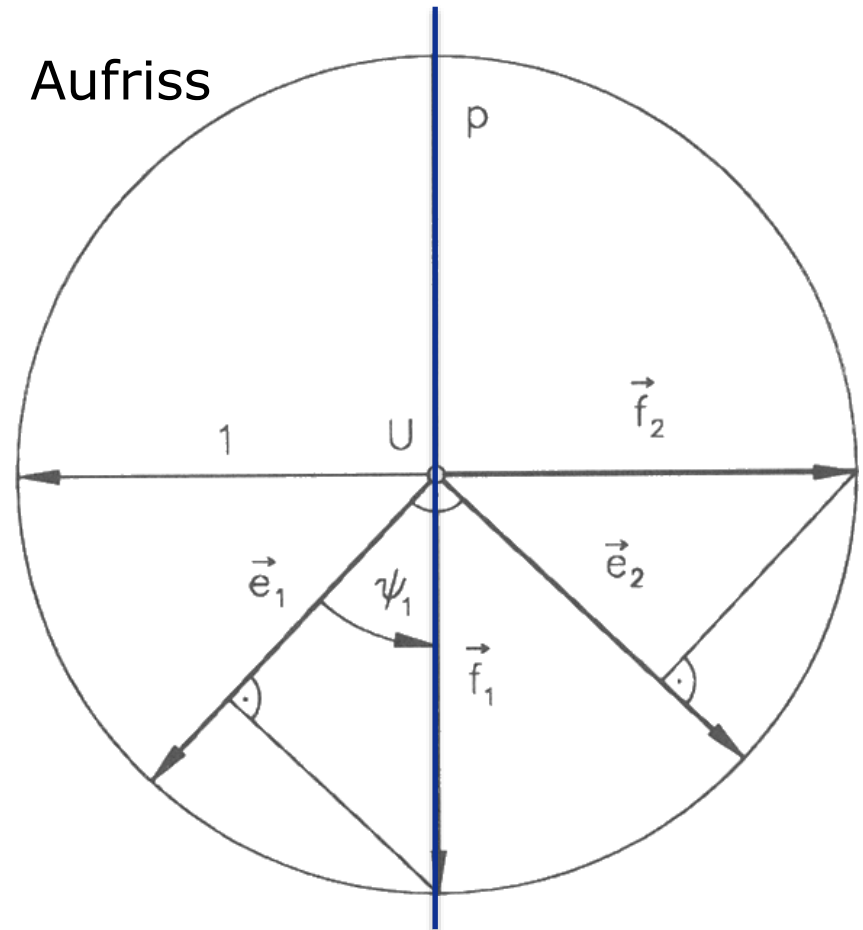
Euler-Winkel: Herleitung

- Beweis: Mit Euler-Winkel können alle Orientierungen beschrieben werden
- Satz: Sind zwei kartesische Rechtssysteme $R = \{U, \vec{e}_1, \vec{e}_2, \vec{e}_3\}$ und $\bar{R} = \{U, \vec{\bar{e}}_1, \vec{\bar{e}}_2, \vec{\bar{e}}_3\}$ mit gemeinsamen Ursprung gegeben, so gibt es eine orthogonale Matrix A , die R nach \bar{R} abbildet.
- Herleitung: Siehe KS-Bild für Euler-Winkel

Euler-Winkel: Koordinatensysteme



Aufriss

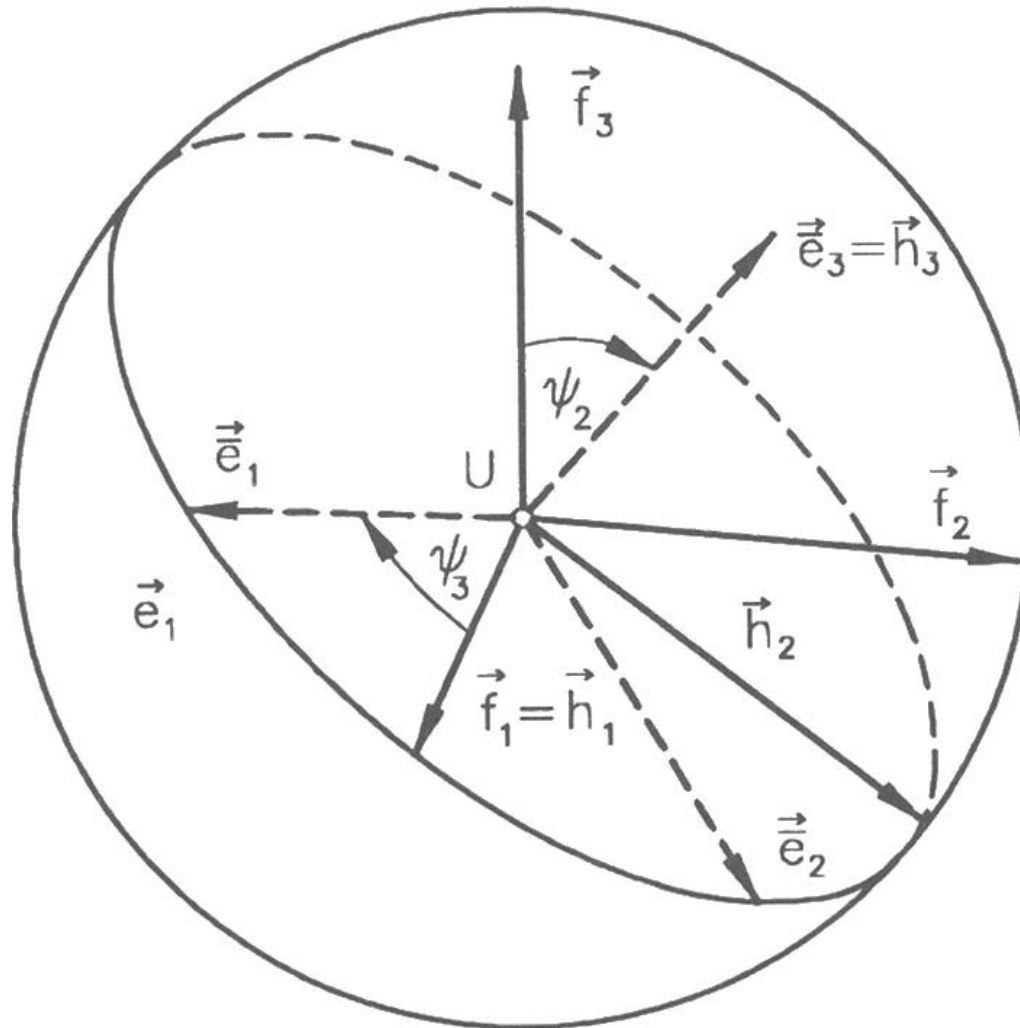


Ebene E_1 (aufgespannt durch \vec{e}_1 und \vec{e}_2) schneidet E_2 (aufgespannt durch \vec{e}_1 und \vec{e}_2) in einer Gerade p (Knotenlinie).

Euler-Winkel: Herleitung

1. Drehe um \vec{e}_3 um Winkel ψ_1 im positiven Sinn, sodass \vec{e}_1 auf \vec{f}_1 abgebildet wird
 - \vec{f}_1 liegt auf p , wobei \vec{f}_1 durch positive Drehung um ψ_1 entsteht mit $0 \leq \psi_1 \leq \pi$
 - R geht über in $R = \{U, \vec{f}_1, \vec{f}_2, \vec{f}_3 = \vec{e}_3\}$
 - $A_1 = \begin{bmatrix} \cos \psi_1 & -\sin \psi_1 & 0 \\ \sin \psi_1 & \cos \psi_1 & 0 \\ 0 & 0 & 1 \end{bmatrix} R_1 = R A_1$
 - $\vec{f}_1 \perp \vec{e}_3$ und $\vec{f}_1 \perp \vec{e}_3$

Euler-Winkel: Koordinatensysteme



Euler-Winkel: Herleitung

2. Drehe R_1 um Achse \vec{f}_1 um Winkel ψ_2 ,
sodass $\vec{e}_3 = \vec{f}_3$ mit \vec{e}_3 zusammenfällt
 - R geht über in $R_2 = \{U, \vec{f}_1 = \vec{h}_1, \vec{h}_2, \vec{h}_3 = \vec{e}_3\}$
 - $A_2 = \begin{bmatrix} 1 & 0 & 0 \\ 0 & \cos \psi_2 & -\sin \psi_2 \\ 0 & \sin \psi_2 & \cos \psi_2 \end{bmatrix} R_2 = R_1 A_2$
 - \vec{f}_2 wird auf \vec{h}_2 abgebildet
 - \vec{h}_2 liegt in der von \vec{e}_1 und \vec{e}_2 aufgespannten Ebene

Euler-Winkel: Herleitung

3. Drehe R_2 um Winkel ψ_3 , sodass R_2 mit \bar{R} zusammenfällt

- $A_3 = \begin{bmatrix} \cos \psi_3 & -\sin \psi_3 & 0 \\ \sin \psi_3 & \cos \psi_3 & 0 \\ 0 & 0 & 1 \end{bmatrix} R_3 = R_2 A_3$

Euler-Winkel: Herleitung

- $\bar{R} = (R_1 A_2) A_3 = (R A_1) (A_2 A_3)$
- Sei $A = A_1 A_2 A_3$, dann $\bar{R} = R A$ mit $A =$

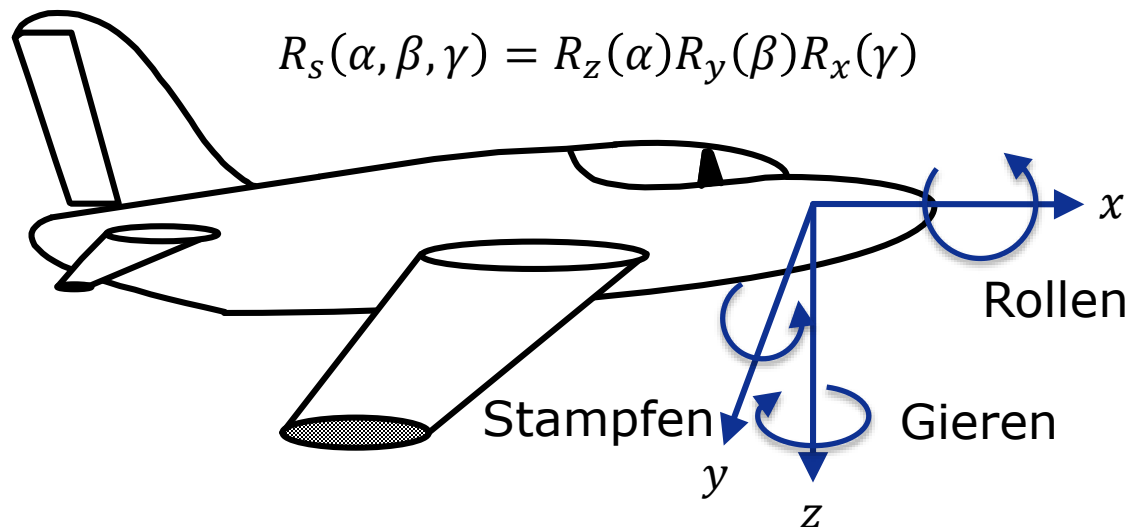
$$\begin{bmatrix} C\psi_1 C\psi_3 - S\psi_1 C\psi_2 S\psi_3 & -C\psi_1 S\psi_3 - S\psi_1 C\psi_2 C\psi_3 & S\psi_1 S\psi_2 \\ S\psi_1 C\psi_3 - C\psi_1 C\psi_2 S\psi_3 & -S\psi_1 S\psi_3 + C\psi_1 C\psi_2 C\psi_3 & -C\psi_1 S\psi_2 \\ S\psi_2 S\psi_3 & S\psi_2 C\psi_3 & C\psi_2 \end{bmatrix}$$
- Durch Koeffizientenvergleich lassen sich ψ_1, ψ_2, ψ_3 eindeutig bestimmen mit $0 \leq \psi_1 < \pi$
 - $\cos \psi_2 = a_{33} \quad \sin \psi_1 \sin \psi_2 = a_{13} \quad -\sin \psi_2 \cos \psi_1 = a_{23}$
 - $\sin \psi_2 \sin \psi_3 = a_{31} \quad \sin \psi_2 \cos \psi_3 = a_{32}$

Drehachse und Drehwinkel

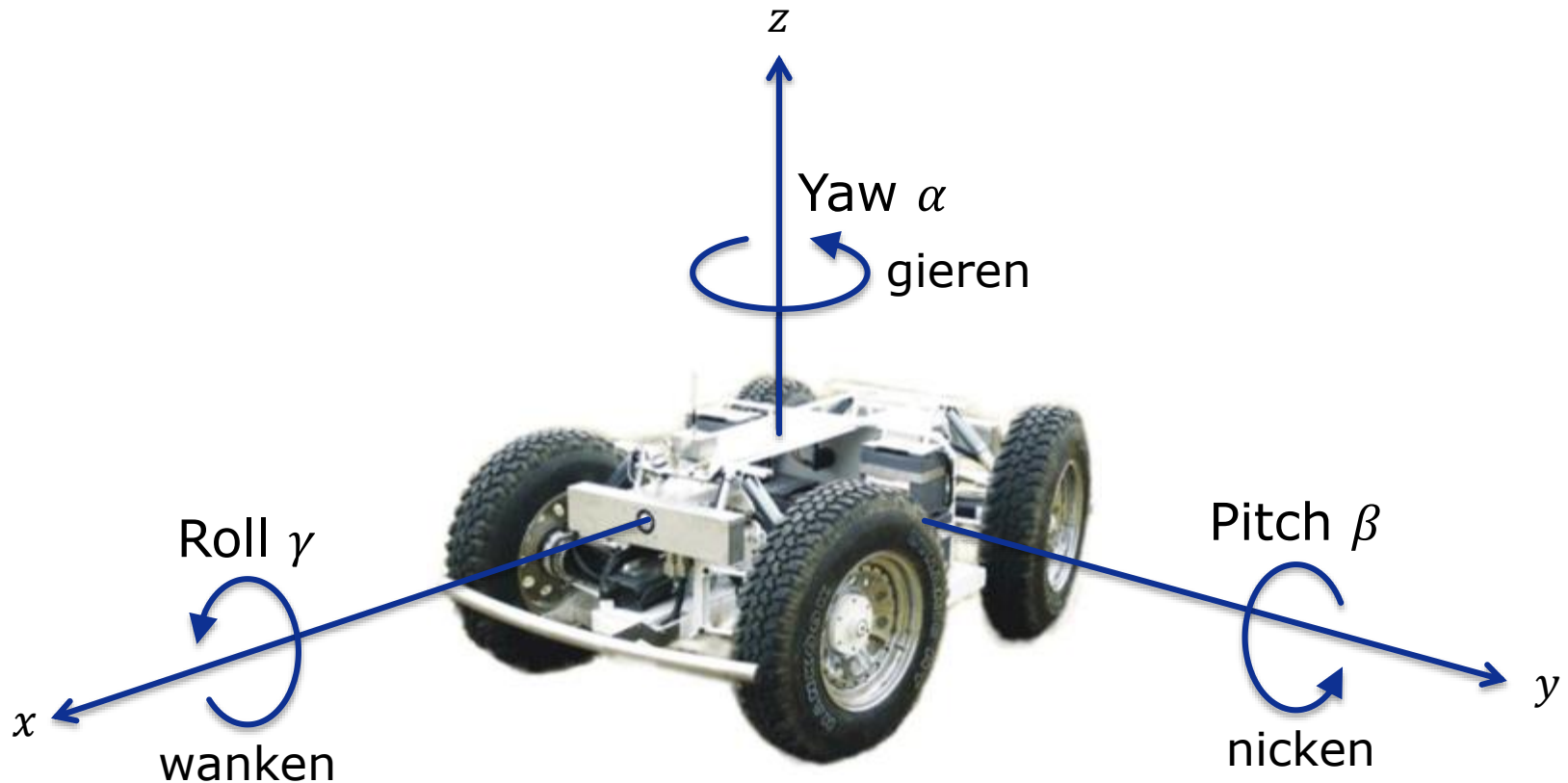
- Jede orthogonale (3×3) Matrix $A = (a_{ik})$ mit $\det A = 1$ beschreibt eine Drehung um Achse g um Drehwinkel ψ .
- Drehwinkel $\cos \psi = \frac{1}{2}(a_{11} + a_{22} + a_{33} - 1)$
- Falls $\psi \neq 0^\circ$ und $\psi \neq 180^\circ$, dann Drehachse g ...
 - $g_1 = (a_{32} - a_{23})$
 - $g_2 = (a_{13} - a_{31})$
 - $g_3 = (a_{21} - a_{12})$
- Satz von Rodrigues: Rotation des Vektors \vec{q} um die Achse, die durch Vektor \vec{k} beschrieben wird, mit Winkel θ .
$$\vec{q}' = \vec{q} \cos \theta + \sin \theta (\vec{k} \times \vec{q}) + (1 - \cos \theta)(\vec{k} \cdot \vec{q})\vec{k}$$

Roll-Pitch-Yaw (Rollen-Stampfen-Gieren)

- Drehung γ (Scherwinkel) um x -Achse des BKS: $R_x(\gamma)$
 - rollen, schlingern, wanken, eng: roll
- Drehung β (Neigungswinkel) um y -Achse des BKS: $R_y(\beta)$
 - stampfen, neigen, nicken, eng: pitch
- Drehung α (Rollwinkel) um z -Achse des BKS: $R_z(\alpha)$
 - gieren, schwenken, scheren, eng: yaw



Roll-Pitch-Yaw in der Robotik



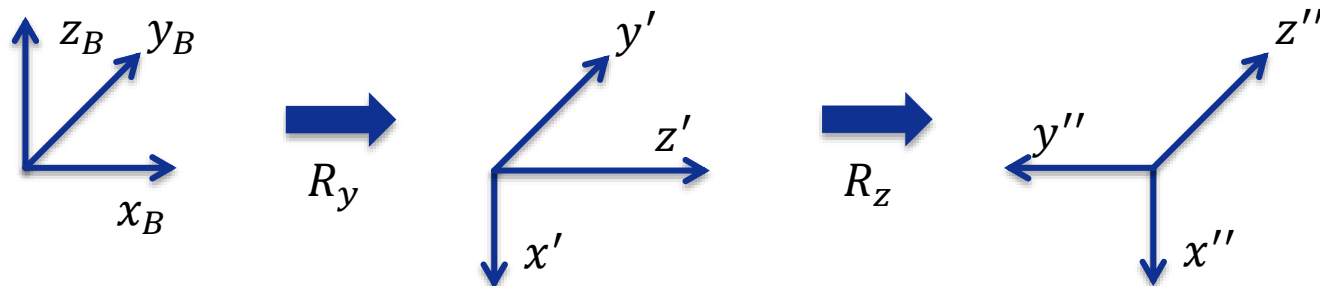
Roll-Pitch-Yaw: Rotationsmatrix

- $R_S = \begin{bmatrix} C\alpha C\beta & C\alpha S\beta S\gamma - S\alpha C\gamma & C\alpha S\beta C\gamma + S\alpha S\gamma \\ S\alpha C\beta & S\alpha S\beta S\gamma + C\alpha C\gamma & S\alpha S\beta C\gamma - C\alpha S\gamma \\ -S\beta & C\beta S\gamma & C\beta C\gamma \end{bmatrix}$
- Rotationsmatrix R_S bezogen auf das BKS
- Drehung um unveränderte Achsen
 - Aufschreiben von rechts nach links!

Roll-Pitch-Yaw: Beispiel

Roll-Pitch-Yaw: $R_S = R_z(90^\circ) \cdot R_y(90^\circ) \cdot R_x(0^\circ)$

$$\begin{aligned} & \begin{bmatrix} 0 & -1 & 0 \\ 1 & 0 & 0 \\ 0 & 0 & 1 \end{bmatrix} \begin{bmatrix} 0 & 0 & 1 \\ 0 & 1 & 0 \\ -1 & 0 & 0 \end{bmatrix} \begin{bmatrix} 1 & 0 & 0 \\ 0 & 1 & 0 \\ 0 & 0 & 1 \end{bmatrix} \\ &= \begin{bmatrix} 0 & -1 & 0 \\ 1 & 0 & 0 \\ 0 & 0 & 1 \end{bmatrix} \begin{bmatrix} 0 & 0 & 1 \\ 0 & 1 & 0 \\ -1 & 0 & 0 \end{bmatrix} \\ &= \begin{bmatrix} 0 & -1 & 0 \\ 0 & 0 & 1 \\ -1 & 0 & 0 \end{bmatrix} \end{aligned}$$



Darstellung der Orientierung

- Roll-Pitch-Yaw
 - xyz -System
 - Luft- und Raumfahrt
- Euler-Winkel:
 - $zx'z''$ -System: Übliche Definition in der Mathematik
 - $zy'x''$ -System: Programmierung numerisch gesteuerter Handhabungseinrichtungen
 - $zy'z''$ -System: Programmiersprache VAL, PUMA-Roboter
 - IRDATA (Handgelenk TRR)

Nächste Vorlesung

- Grundlagen zur Raumkinematik
 - Homogene Koordinaten
 - Transformationsmatrizen
 - Verkettete Lagebeschreibungen